

## 球体に作用する不規則波力の二、三の特性

名古屋大学工学部

正員 岩田裕一郎

学生員 越天哲

名古屋大学大学院

学生員○葛西信三

学生員 水谷法美

1. はじめに； 不規則波による作用波力の特性を明らかにすることは、海洋構造物の設計上際々極めて重要である。本報では、室内水理実験を行ない、球体に作用する不規則波力の特性について考察を加えておこなう。その一部を発表する。

2. 水理実験； 実験は、名古屋大学工学部工学実験室の室内鋼製三次元造波水槽( $0.8m \times 0.9m \times 0.8m$ )で行なわれた。水深は56cmであり、発生波は Bretschneider型スペクトルを期待スペクトルとする二種類の不規則波である。発生波の諸量は、CASE-1 で  $H_3=3.3cm$ ,  $T_{1/3}=0.92$  秒, CASE-2 で  $H_3=3.78cm$ ,  $T_{1/3}=1.06$  秒である。二種類の不規則波に対して、水位および水平方向、鉛直方向の流速( $u, w$ )、波力( $F_x, F_z$ )を同時に計測した。計測時間は、各々一スコット約2分間である。また、流速、波力は、静水面下20cmの地点で計測された。波力の計測に使用した球は、直径2.5cmの合製樹脂製である。Cantilever型とし、モーメントローラー式並算式である。また、流速を Cantilever型流速計で計測した。

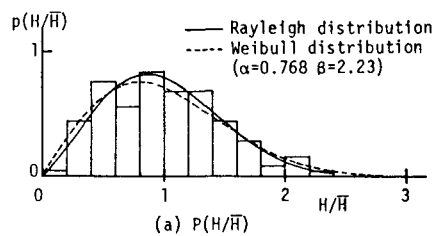
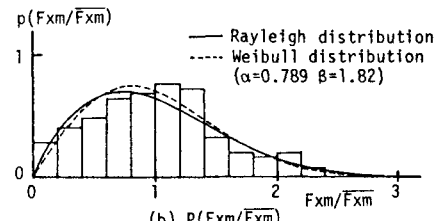
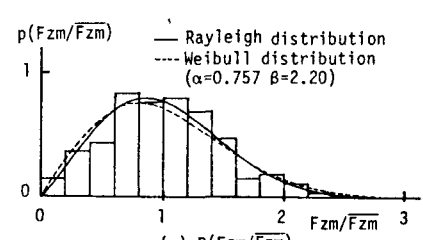
3. 解析方法； 実験より得られた水位、流速、波力の時間波形を、すべて sampling time  $\Delta t = 0.05$  秒で離散化し、統計諸量の計算、流体力係数などの計算を行なう。波力の計算に必要な加速度と、流速の各成分波に時間微分に相当する周波数応答関数をかけ、合成する方法を求めた。流体力係数は、実測流速と加速度から求めた計算波力の波形と、実測波力の時間波形に最もよく合うように求める手法(method 1)と、実測流速と加速度のスペクトルから求めた計算波力のスペクトルと、実測波力のスペクトルに最もよく合うように求める手法(method 2)の二通りの方法に対して、最小自乗法によつて、2決定される。波力の計算を Morison型の式(1)と(2)で行なう。

$$F_x = \frac{1}{8} C_D \rho \pi D^2 u \sqrt{u^2 + w^2} + \frac{1}{6} C_M \rho \pi D^3 \frac{du}{dt} \quad (1)$$

$$F_z = \frac{1}{8} C_D \rho \pi D^2 w \sqrt{u^2 + w^2} + \frac{1}{6} C_M \rho \pi D^3 \frac{dw}{dt} \quad (2)$$

ここで、 $C_D, C_M$ は抗力係数、 $C_M$ は慣性力係数で、 $\rho$ は水の密度、 $D$ は球の直径である。

4. 実験結果及び考察； (1)極下波力の確率分布：水位変動と並びウス分布と並んで、2つのスペクトルが狭帯域スペクトルと仮定できることはならば、波高  $H_a$  の確率分布は、Rayleigh分布となる。このとき、直立円柱に作用する波力は、慣性力が支配的であり、波動場が微小振幅波で表現でき場合、円柱に作用する極下波力の確率分布も Rayleigh 分布となることの導出は簡単である。球体に作用する波力に関するものも同様に極大波力が Rayleigh

(a)  $P(H/H̄)$ (b)  $P(Fxm/Fxm̄)$ (c)  $P(Fzm/Fzm̄)$

分布とは二つに分かれ、本実験で得られた波高分布は水平、鉛直方向の極大波力の確率分布を図-1(b), (c) に示す。図-1(b) に、波高はほぼ Rayleigh 分布とみなせられる。このとき、 $F_{X_1}$ ,  $F_{X_2}$  の極大値の確率密度は、図-1(b), (c) より Rayleigh 分布に近い。二つには、前述の仮定の一つに、正規的に作用波力のうち慣性力が支配的であることを意味するものである。実際に、後述する流体力係数を候補として、慣性力と抗力の比を求めると、慣性力が抗力の 3 倍程度の大きさであることが認められる。

(2) 流体力係数: 本実験で得られた流体力係数を表-1に示す。奥験種目から見て、満足のいく複式を加えることはできなかったが、流体力係数は、スペクトルから求められた各方向の値  $C_{Dx}, C_{Dy}$  上下差は差が認められず、また、慣性力係数は、ボテンシャル理論の値 1.5 より若干小さいか、その他の中は、平均波に相当する規則波の値に近いことが、別に行なった規則波の実験結果より認められた。(表-1 参照)

(3) 波力時間波形: 図-2 に実測および計算波力の時間波形の一例を示す。二つの手法で求められた計算波形は、ほとんど同じであり、またこれだけは、実測波力をよく再現しているものとすればことづかう。

と値せよ考えよと、平均波に対する流体力係数を便、乙、不規則波に対する最大と、以下に正確に予測できることを示すことをえよう。ただし、波につけば、波ひとつ十分に波形を表現できず、今後更に複数の波を扱う必要がある。

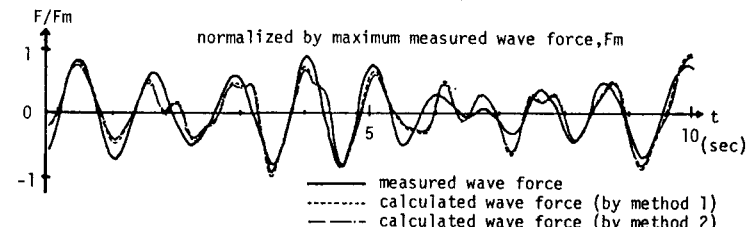


图-2 返力の時間波形例 (CASE-2 Fix)

a 時間波形と同様、二つの計算手法に対する計算波力のスペクトルの形状の差異はほとんどない。しかし、両者はともに、ピーク周波数付近で、実測波力のスペクトルの値よりかなり小さく。逆に、低周波数側では大きくなる傾向にある。この傾向は、特にTgで顕著である。二つの一因として、流体力係数を一つの定数とみなすためであることが考えられる。したがって、より精度高く波力を推算するためには、各成分波に対する流体力係数を使用することとの必要性を考えられよう。

5. あとがき：以上、球体に作用する不規則波力の特性につき述べて置いたが、今後、更に精度の高い波力の推算方法につき検討すると同時に、水位変動から波力を推算する手法につきも検討を加えていく所存である。

参考文献 1) Borgman, L. E., ASCE, Vol 91, No. WWW3, 1965, pp. 65-90

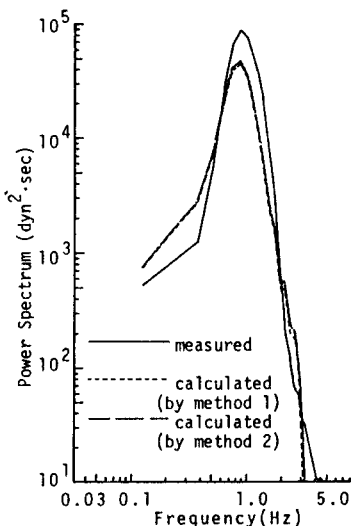


図-3 ボカスペクトル例( $\frac{\text{CASE-2}}{F_x}$ )